

## Стеганографическая защита изображений из PDF документов на основе конвертора PDF-SVG

В.Н. Горбачев<sup>1</sup>, И.К. Метелёв<sup>1</sup>, Е.М. Кайнарова<sup>1</sup>, М.А. Полякова<sup>1</sup>  
helenkainarova@gmail.com|polyakovaqueen1998@mail.ru.

<sup>1</sup>СПб Государственный университет промышленных технологий и дизайна, Санкт-Петербург, Россия

*В работе рассмотрен вопрос о защите изображений, входящих в состав PDF документа. Основой предложенной стеганографической схемы служит конвертор PDF-SVG, который извлекает изображение из документа и возвращает его обратно после встраивания цифровых данных. Обсуждаются два варианта встраивания, использующие дискретное вейвлет преобразование и битовые плоскости полутонного контейнера.*

**Ключевые слова:** стеганография, PDF, цифровые водяные знаки.

## Steganographic protection of image from PDF document using a convertor PDF-SVG

V.N. Gorbachev<sup>1</sup>, I.K. Metelev<sup>1</sup>, E.M. Kaynarova<sup>1</sup>, M.A. Polyakova<sup>1</sup>  
helenkainarova@gmail.com|polyakovaqueen1998@mail.ru.

<sup>1</sup>Saint-Petersburg State University of Industrial Technologies and Design, Saint-Petersburg, Russia

*Protection of the images included in PDF document is considered. The basis of the proposed steganographic scheme is a convertor of PDF-SVG, that extracts images from PDF document and returns it back after embedding data. We discussed two embedding methods using a wavelet transform and bit planes of the grayscale cover.*

**Keywords:** steganography, PDF, watermarks.

Будучи широко распространенным форматом представления электронных документов, PDF имеет разнообразную криптографическую защиту. Однако задача защиты информации не имеет единственного решения, что является источником новых предложений, в число которых входят стеганографические методы. Богатая структура PDF формата позволяет использовать морфологические и семантические характеристики текста, модификацию операторов визуализации текста, и многое другое [1].

При морфологическом подходе бит информации кодируется текстовой альтернативой: пассивный или активный залог, синонимы [2]. В технике кодирования пробелами, White Space Coding, используют обычный и неразрывный пробел, которые визуалью неразличимы, но имеют разные коды [3]. В методе *TJ* (Text Justified) операторов, выравнивающих текст, данные встраиваются в интервалы между словами. [4]. При выравнивании длины интервалов принимают случайный характер, что дает возможность их модифицировать, используя LSB (Least Significant Bit) методы [5] или размытие (Dither Modulation) [6]. Сообщение можно закодировать перестановкой, которая встраивается в 1d или 2d массив. Встраивание в частотную область цифрового изображения специально выбранной перестановки, которая имеет циклы длиной не больше 2, ее называют инволюция, оказывается устойчивым к JPEG сжатию с потерей [7].

Встраивание цифровых водяных знаков (ЦВЗ) предусмотрено рядом приложений. К их числу относится Adobe Acrobat и редактор  $\text{\TeX}$ , который может создавать выходной файл в PDF. Эти приложения позволяют встроить видимые ЦВЗ, представляющие со-

бой полупрозрачный текст или изображения, которые затрудняют зрительное восприятие. Техника видимых ЦВЗ предполагает, что их может удалить законный пользователь за отдельную плату [8].

В отличие от рассмотренных методов мы сосредоточили внимание на защите изображений в PDF документах. Для этой цели предложен конвертор *PDF – SVG*. Он сохраняет изображения, извлеченные из PDF документа, в формате PNG или JPEG, в которые встраиваются как невидимые, так и видимые ЦВЗ. Защищенное изображение конвертор возвращает обратно в документ. Для случая видимых ЦВЗ целью является восстановление исходного изображения. В нашем методе величина PSNR (Peak Signal Noise Ratio) между оригиналом и восстановленным изображением может достигать порядка 55.8 дБ. Это значение свидетельствует о высоком качестве восстановленного изображения.

### 1. Встраивание с помощью конвертора

Стеганографическая схема содержит конвертор, который осуществляет преобразование между двумя форматами PDF и SVG, алгоритмы встраивания и детектирования.

#### 1.1. Схема

Работа схемы содержит следующие шаги:

1. Конвертор извлекает изображения из PDF документа и сохраняет их в графическом формате PNG или JPEG. Эти или модифицированные изображения конвертор возвращает обратно в PDF документ.

2. Извлеченные изображения могут модифицироваться путем встраивания, детектирования или удаления ЦВЗ.

В качестве ЦВЗ используется бинарное изображение  $M$ , которое встраивается в контейнер  $C$ , полученный из графического файла PNG или JPEG. В случае невидимых ЦВЗ алгоритмы детектирования извлекают встроенные данные  $M'$ . В случае видимых ЦВЗ восстанавливается исходный контейнер  $CR$ . Из-за необратимости преобразований извлеченные данные и восстановленный контейнер будут отличаться от оригиналов. Однако в обоих случаях требуется выполнить условие неразличимости

$$\begin{aligned} M &\approx M', \\ C &\approx CR. \end{aligned}$$

Эти условия допускают две интерпретации. С одной стороны есть два изображения, которые выглядят одинаково. С другой стороны можно говорить о недетектируемости. Для невидимых ЦВЗ это означает невозможность определить с вероятностью единица наличие встроенных данных путем статистического анализа. Для видимых ЦВЗ это означает невозможность определить был ли удален встроенный ЦВЗ из изображения нелегитимным пользователем.

## 1.2. Конвертор

Важным свойством нашего конвертора является обратимость, что позволяет преобразовывать данные без потерь.

В сети Интернет можно найти большое число предложений как преобразовать изображение из PDF в графический формат PNG, JPEG и обратно. Были выбраны наугад два конвертора<sup>1</sup> и полутоновое изображение a.png с яркостью пиксела 0, 1, ..., 255. Мы рассмотрели преобразование

$$a.png \rightarrow \text{PDF} \rightarrow b.png.$$

Было найдено, что разность яркостей пикселей у изображений a.png и b.png достигала 129 единиц, что заметно при визуальном восприятии. Для нашего конвертора разность оказалась равно нулю, что означает обратимость преобразования.

Отметим точность, с которой получается этот результат. Для кодирования в графическом формате обычно используются целые неотрицательные числа, поэтому при вычислениях или записи в графический формат все числа округляются. Чтобы исключить случайное совпадение, было протестировано 200 различных pdf-документов. В результате наш конвертор можно считать обратимым по крайней мере в случае преобразования данных, представленных целыми неотрицательными числами. Это означает, что конвертирование не будет вносить ошибок в процессы извлечения ЦВЗ и восстановления контейнера.

<sup>1</sup><http://pdf-png-jpg.eu/>, <http://online2pdf.com/converto-r-png-to-pdf>

## 2. Частотное встраивание

Встраивание данных осуществлялось путем замены части коэффициентов дискретного вейвлет преобразования контейнера пикселями ЦВЗ.

### 2.1. Встраивание с помощью вейвлет преобразования

Алгоритмы встраивания и детектирования содержат следующие шаги:

1. Контейнер подвергается одноуровневому дискретному вейвлет преобразованию DWT (Discrete Wavelet Transform).
2. Часть коэффициентов из выбранного частотного блока заменяется на биты сообщения и осуществляется обратное преобразование IDWT.
3. Встроенные данные извлекаются из выбранного частотного блока.

Вейвлет преобразование извлеченного из PDF документа изображения  $C$  дает четыре блока коэффициентов

$$\text{DWT}(C) = \{cA, cH, cV, cD\},$$

где  $cA$  коэффициенты аппроксимации,  $cH$ ,  $cV$  и  $cD$  коэффициенты горизонтальных, вертикальных и диагональных деталей. В литературе их также называют  $LL$ ,  $LH$ ,  $HL$ ,  $HH$  частотными полосами от Low и High, высокий и низкий. Пусть сообщение  $M$  встраивается, например, в блок  $cD$ . Для этого  $M$  масштабируется путем изменения размера и яркости

$$M \rightarrow M_u \rightarrow aM_u,$$

где  $aM_u$  - изображение с новыми размерами и яркостью, которые определяются коэффициентами  $u$  и  $a$ . Эти коэффициенты играют важную роль, они подбираются экспериментально, исходя из поставленной задачи. Изменяя  $u$  или  $a$ , можно полностью или частично заполнить контейнер или сделать встроенные данные как видимыми, так и невидимыми. В результате часть коэффициентов  $cD$  заменяется на  $aM_u$  и блок со встроенными данными  $cD^*$  используется далее для формирования стегоконтейнера

$$S = \text{IDWT}\{cA, cH, cV, cD^*\}.$$

Данные извлекаются из стегоконтейнера  $S'$ , который получается из  $S$  путем некоторого преобразования  $T$ :

$$T : S \rightarrow S'.$$

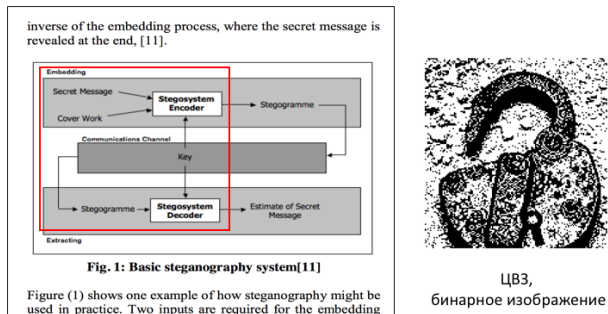
С помощью  $T$  описывается ряд процессов, в число которых входит запись изображения в графический формат, считывание, конвертирование, передача данных конвертору и др.

### 2.2. Эксперимент

Результат встраивания невидимого ЦВЗ приведен на рис. 1. Слева фрагмент PDF документа<sup>2</sup>, он содержит

<sup>2</sup>Фрагмент из работы Y-C Lai, W-H Tsai, Covert communication via PDF files by new data hiding techniques, NSC project No, 97-2631-H-009-001

жит изображение Fig. 1: Basic steganographic system, которое расположено в тексте. Изображение защищено невидимым ЦВЗ, встроенным в область, отмеченную красным. Справа приведен ЦВЗ, представленный бинарным изображением. Для DWT был взят ортогональный вейвлет db6 из семейства Добеши.



Контейнер с ЦВЗ, a=20, u=0.5, вейвлет db2

Рис. 1. Фрагмент PDF документа с защищенным изображением.

Выбранные величины a=20 и u=0.5 означают, что яркость бинарного ЦВЗ увеличена в 20 раз и заменено 50% коэффициентов блока cD.

Мы рассмотрели встраивание с несколькими вейвлетами из семейства Добеши db1, db2, db6, db26, db41 для a=20 и u=0.5. При детектировании возникали ошибки, когда в извлеченных ЦВЗ от 2% до 15% пикселей воспроизводится неправильно. Было установлено, что основной причиной ошибки является потеря точности при округлении, которая возникает при записи цифрового изображения с ЦВЗ в графический формат.

### 3. Пространственное встраивание

Используя побитовое сложение, можно встроить бинарное изображение в битовую плоскость полутонного контейнера. Тогда ошибки округления при записи изображения в графический формат будут исключены.

#### 3.1. Встраивание в битовые плоскости

В основе алгоритма лежит идея удвоения битовых плоскостей [9]. Благодаря избыточности, можно построить полутонное изображение с двумя одинаковыми битовыми плоскостями, причем визуально оно не будет отличаться от исходного. Тогда одна из плоскостей может быть использована для встраивания данных, а вторая для слепого детектирования ЦВЗ или восстановления контейнера.

Любое полутонное изображение с битовой глубиной k можно представить с помощью набора битовых плоскостей. Для k = 8

$$C = B_8 2^7 + \dots + B_1 2^0, \quad (1)$$

где  $B_V = \text{bitget}(C, V)$  битовая плоскость, для вычисления которой введена функция bitget,  $V = 1, 2, \dots, 8$ . Плоскость  $B_1$  называют LSB (Least

Significant Bit) плоскостью, она не содержит семантической информации. Используя (1), можно получить изображение с двумя битовыми плоскостями. Пусть  $B_V$  и  $B_U$ , где  $V > U$  две битовые плоскости C. Тогда изображение  $C_D$  с двумя битовыми плоскостями  $B_V$  имеет вид

$$C_D = C - B_U 2^{U-1} + B_V 2^{U-1}. \quad (2)$$

Алгоритм встраивания, использующий (2), содержит следующие шаги.

1. Для выбранных V и U строится контейнер  $C_D$  с двумя битовыми плоскостями.
2. В плоскость V встраивается бинарное изображение путем побитового сложения

$$C \rightarrow S = C_D - B_V 2^{V-1} + (B_V \oplus M) 2^{V-1}. \quad (3)$$

Встроенное изображение будет видимым или невидимым в зависимости от выбора V. Мы рассмотрим случай видимых ЦВЗ, для которого в качестве V следует взять старшие битовые плоскости. Чтобы восстановить контейнер, старшая плоскость V, содержащая ЦВЗ, удаляется, а на ее место ставится U

$$S \rightarrow CR = S - \text{bitget}(S, V) 2^{V-1} + \text{bitget}(S, U) 2^{U-1} - \text{bitget}(S, U) 2^{U-1}.$$

Отличие контейнеров определяется младшей битовой плоскостью

$$C - CR = B_U 2^U. \quad (4)$$

Пример работы показан на рис. 2.

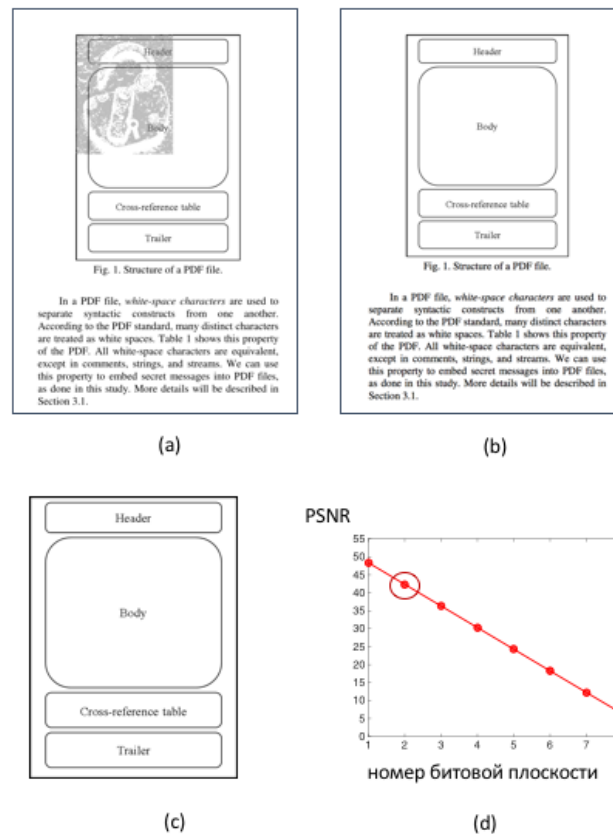


Рис. 2. Видимые и устранимые ЦВЗ.

На рис. 2 (а) приведен фрагмент PDF документа с изображением *Fig.1 Structure of PDF file*<sup>3</sup>, в которое встроен видимый ЦВЗ. Используются плоскости  $V = 7$  и  $U = 2$ . Фрагмент PDF и изображение с удаленным ЦВЗ представлены на рис. 2 (b) и (c). После удаления ЦВЗ восстановленный документ визуально неотличим от исходного. На рис. 2 (d) приведена зависимость пикового отношения сигнал шум PSNR от номера удаленной битовой плоскости. Для рассматриваемого случая  $U = 2$  величина PSNR=42.3417 Дб. Это значение совпадает с рассчитанным из эксперимента, который включает цепочку преобразований с конвертированием. Найденное совпадение подтверждает обратимость этих преобразований. Полученное значение PSNR свидетельствует о высоком качестве восстановленного изображения и совпадает с визуальной оценкой. В этом примере для дублирования использована вторая битовая плоскость  $U = 2$ . Если взять LSB плоскость  $U = 1$ , то можно получить более высокое PSNR: порядка 55.8 дБ, как это следует из графика на рис. 2 (d). Заметим, наши результаты получены для пространственного встраивания. В случае частотной техники, развитой в [10] для видимых ЦВЗ на основе DWT, значения PSNR оказываются несколько хуже: 37-40 дБ.

#### 4. Выводы

1. Изображения, входящие в состав PDF документов, могут быть скопированы нелегитимным пользователем и потому нуждаются в своей собственной защите.
2. В стеганографической схеме может быть использован конвертор, который преобразует изображения из PDF в графический формат и обратно. Поэтому можно использовать разные методы защиты цифровых изображений, включающие пространственную и частотную технику.
3. Для встраивания в частотной области возникает характерная ошибка, обусловленная потерей точности из-за сохранения изображения в графическом формате. При использовании битовых плоскостей эта ошибка может быть исключена.

#### 5. Литература

- [1] Ndongam R., Ekodeck S. G. PDF Steganography based on Chinese Remainder Theorem // arXiv:1506.01256v1 [cs.CR] 3 Jun 2015.
- [2] Meral H.M., Sankur B., Ozsoy A. S., Gungor T., Sevinc E. Natural language watermarking via morphosyntactic alterations, // Computer Speech & Language Journal, 2009. - Vol. 23, No 1, pp 107-125.
- [3] Wang J.T., Tsai W.H. Data hiding in PDF files and applications by imperceptible modifications of PDF object parameters. // Proc. of 2008 Conf. on Computer Vision, Graphics & Image Proc., Yilan, Taiwan, Aug. 2008, pp. 24-26.

- [4] Zhong S., Cheng X., Chen T. Data hiding in a kind of pdf texts for secret communication. International // Journal of Network Security, 2007. - Vol. 4(1), pp. 17-26.
- [5] Alizadeh-Fahimeh, F., Canceill-Nicolas, N., Dabkiewicz-Sebastian, S., Vandevenne-Diederik, D. Using Steganography to hide messages inside PDF files, // 2012, SSN Project Report.
- [6] Bitar A.W., Darazi R., Couchot J-F., Couturier R. Blind digital watermarking in PDF documents using Spread Transform Dither Modulation, // Multimes Tools Appl, DOI 10 1007 s11042-015-3034-2,
- [7] Chroni M, A. Fylakis A., Nikolopoulos S.D. Watermarking PDF Documents using Various Representations of Self-inverting Permutations. // arXiv:1501.02686 [cs.MM], 2015.
- [8] Mintzer F.C., Lotspiech J., Morimoto N. IBM, 1997. Safeguarding digital library contents and users: Digital watermarking. // D-Lib Magazin [Online]. Available: <http://www.dlib.org/dlib/december97/ibm/12lotspiech.html>.
- [9] Горбачев В.Н., Кайнарова Е.М., Денисов Л.А. Встраивание бинарного изображения в плоскости Грея. // Компьютерная оптика, 2013. - Т. 37, № 3, - С. 385-390.
- [10] Hu Y, S., Huang S.K.J An algorithm for removable Visible Watermarking.// IEEE. Transactions on circuits and systems video technology. 2006. - Vol. 16, No 1, pp.129-133.

<sup>3</sup> Фрагмент страницы из [2]